

時間域積分方程式法による3次元クラックの動的解析

京都大学工学部	正員	小林 昭一
京都大学工学部	正員	西村 直志
建設省	正員 ○	奥村 康博

1. まえがき

近年、積分方程式法が、境界値問題に於て有力な数値解析法として、多くの分野で注目を浴びている。その特長の一つとして、他の数値解析手法（差分法、有限要素法等）に比べて、無限領域の取り扱いが容易であるという点が挙げられる。その性質を利用して、本研究では、時間域を考慮にいれた積分方程式法により、3次元の無限等方弾性体中の円形平面クラックに、弾性波（P波）が垂直に入射したとき、時間の経過に伴う開口変位の様子を数値解析で求める。

2. 積分方程式法による定式化

無限弾性体中のクラックSの満足する積分方程式は、

$$\left\{ \begin{array}{l} 0 = T_{jk} U_k^I(x, t) + Pf \int_0^t \int_S T_{jk} T_{ik} (\xi - x, t-s) \phi_i(\xi, s) dS_x ds \\ \quad \xi \in S \end{array} \right. \quad (1)$$

但し、

T : 変位に作用させるとトラクションになるテンソル

T_{ik} : 二重層核 ϕ : 開口変位 U^I : 入射波

しかしこの式は特異性が強すぎ、そのままでは数値解析には不適当であるため、ここで応力関数¹⁾を用いた方法により正則化を行う。これにより、可積分のオーダーまで特異性を落とすことができる。

入射波 U^I は、

$$U^I = \delta_{ij} P_0 (c_0 t - x_j) H(c_0 t - x_i) / (\lambda + 2\mu)$$

H : Heaviside のステップ関数

P_0 : 振幅 λ, μ : Lamé 定数

で表される。

これとSが平面であることから、積分方程式(1)の第2項は、次式のように書かれる。

$$\begin{aligned} & \left(\int_0^t \int_S T T_I \phi dS_x ds \right)_2 \\ &= -Pf \int_0^t \int_S \Phi_{338r}^{**} (\xi, x, t-s) \delta_{ij} \frac{\partial}{\partial x_j} (\delta_{ik} r \frac{\partial}{\partial x_k} \phi_3 (\xi, s)) dS_x ds \\ &+ \int_0^t \int_S \Phi_{333}^* (\xi, x, t-s) \dot{\phi}_3 (\xi, s) dS_x ds \end{aligned} \quad (2)$$

ここに、

$$\Phi_{338r}^{**} (\xi, x, s) = -\frac{\mu c^2}{4\pi(\lambda+\mu)} \left\{ 2\lambda \delta_{ij} \delta_{ek} + (\lambda+2\mu)(\delta_{ik} \delta_{ej} + \delta_{ie} \delta_{jk}) \right\}.$$

Shoichi KOBAYASHI, Naoshi NISHIMURA, Yasuhiyo OKUMURA

$$\cdot \left\{ \frac{\bar{x}_1 \bar{x}_2}{R^3} \left(\frac{\delta(t - \frac{R}{C_L})}{C_L^2} - \frac{\delta(t - \frac{R}{C_T})}{C_T^2} \right) - \frac{t(R^2 \alpha - 3\bar{x}_1 \bar{x}_2)}{R^5} [H(t - \frac{R}{C_L}) - H(t - \frac{R}{C_T})] \right\}$$

$$\begin{aligned} \bar{x}_{333}^* (x, t, s) = & - \frac{1}{4\pi(\lambda+\mu)} \left\{ \frac{\mu}{C_L^2} (\lambda+2\mu) \frac{1}{R} \left[\frac{C_L^2}{G^2} \delta(t - \frac{R}{C_L}) - \frac{C_T^2}{G^2} \delta(t - \frac{R}{C_T}) \right] \right. \\ & - \frac{\lambda^2}{R} \left(\frac{\delta(t - \frac{R}{C_L})}{C_L^2} - \frac{\delta(t - \frac{R}{C_T})}{C_T^2} \right) \\ & \left. + t \frac{4\mu(\lambda+\mu)}{R^3} (H(t - \frac{R}{C_L}) - H(t - \frac{R}{C_T})) \right\} \end{aligned}$$

但し、

C_L, C_T : それぞれ、P波、S波の波速

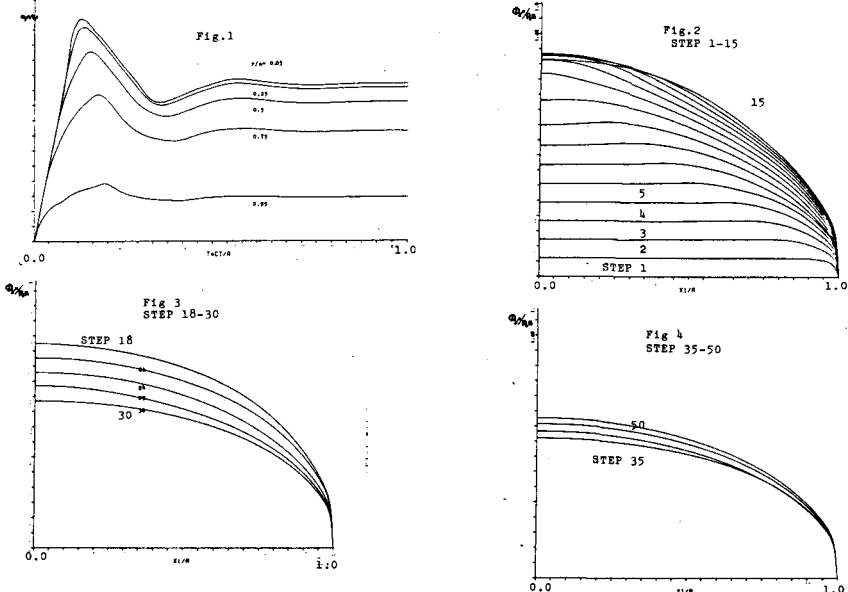
3. 数値解析法及び解析例

式(2)は、円形平面クラックS上で面積分する必要がある。ここでは、円をリング状の幾つかの要素に分割し、要素内では開口変位が一定であるとする。これはこの問題の場合、開口変位は θ に依存せず、半径 r のみによると考えられるからである。また時間方向の積分には、線形補間を使用する。

計算はボアソン比が0.2の場合について、Sを20分割し、100時間ステップまで行った。(1時間ステップ $= a / (10 * c_t)$, a : クラックの半径)

Fig. 1は、各部分の開口変位の時間的な経過について表したものである。振動を繰り返しながら、定常状態に近づいていることが分かる。

Fig. 2-4は、各時間ステップにおけるクラックの断面を表している。Fig. 2ではほぼS波の速度でtipからの影響が伝わってきている事が分かる。



参考文献 1) 西村 直志, 小林 昭一: 「弾性学に於ける二重層ポテンシャルの正則化について」境界要素法論文集第4巻 pp.49-54 (1987)